



Fast initial response für EWMA-Kontrollkarten

Sven Knoth

Lehrstuhl für Quantitative Methoden, insbesondere Statistik

13. Juni 2003

Traditionelle EWMA-Kontrollkarte für die Lage (mit konstanten Stoppgrenzen)

$$X_i \sim \mathcal{N}(\mu_i, \sigma^2 = 1) , \quad \mu_i = \begin{cases} 0 & , i < m \\ \delta (= 1) & , i \geq m \end{cases} , \quad i = 1, 2, \dots$$

$$Z_0 = z_0 = 0 , \quad Z_n \underset{n \geq 1}{=} (1 - \lambda) Z_{n-1} + \lambda X_n , \quad \lambda \in (0, 1] ,$$

$$E_m(Z_n) \underset{n < m}{=} 0 \quad (E_\infty(Z_n) = 0 \text{ für alle } n, \text{ for } z_0 \neq 0 \text{ wenigstens } \lim_{n \rightarrow \infty} E_\infty(Z_n) = 0) ,$$

$$Var_m(Z_n) = \frac{2}{2 - \lambda} (1 - [1 - \lambda]^{2n}) \rightarrow \frac{2}{2 - \lambda} \text{ for } n \rightarrow \infty ,$$

$$L = \inf \left\{ n \in \mathbb{N} : |Z_n| > c \sqrt{\frac{2}{2 - \lambda}} \right\} .$$

Fast Initial Response (FIR)

Ziel: Verbessere Verhalten der Kontrollkarte zum Verfahrensstart!

z. B.

- nach einer Prozeßadjustierung in der Qualitätskontrolle,
- nach Modellneuschätzung beim Monitoring von Finanzdaten,
- bei vor Verfahrensstart vermutetem *change point*,
- Verringerung des Einflusses des Startwertes (z_0),
- ...

Fast Initial Response – Literaturstellen

- Erstmalig betrachtet von Lucas/Crosier (1982) für CUSUM.
- Lucas/Saccucci (1990 ... 1988) Markov-Kette

5.1 FIR Feature ... A disadvantage of this approach is that it requires two separate EWMA's ... A detailed discussion of this approach will be given in a future article.

B.1 FIR Feature ... The FIR feature requires the simultaneous implementation of two one-sided EWMA ... We plan to implement the exact method for calculating FIR ARL's in our future work.
- Rhoads/Montgomery/Mastrangelo (1996), Monte-Carlo

Fast initial response scheme for exponentially weighted moving average control chart.
- Steiner (1999), Markov-Kette

EWMA control charts with time-varying control limits and fast initial response.
- Montgomery (2001): $\frac{1}{2}$ Seite in *Introduction to Statistical Quality Control, 4th ed.*

FIR als Ausweg für Trägheitsproblem

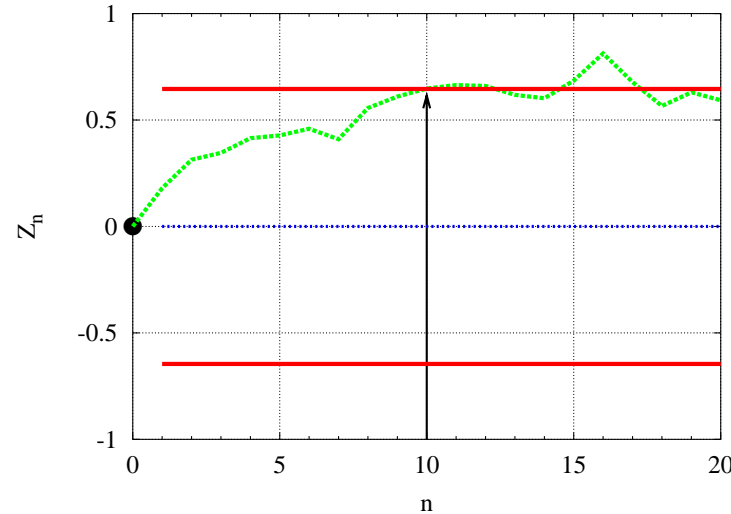
Problem: träges Verhalten der traditionellen EWMA-Karte für zeitige *change points* (kleine m), d. h. bei kleinem λ starker Einfluß des Startwertes z_0

$$Var_m(Z_n) = \frac{2}{2 - \lambda} (1 - [1 - \lambda]^{2n}) \ll \frac{2}{2 - \lambda} = \lim_{n \rightarrow \infty} Var_m(Z_n)$$

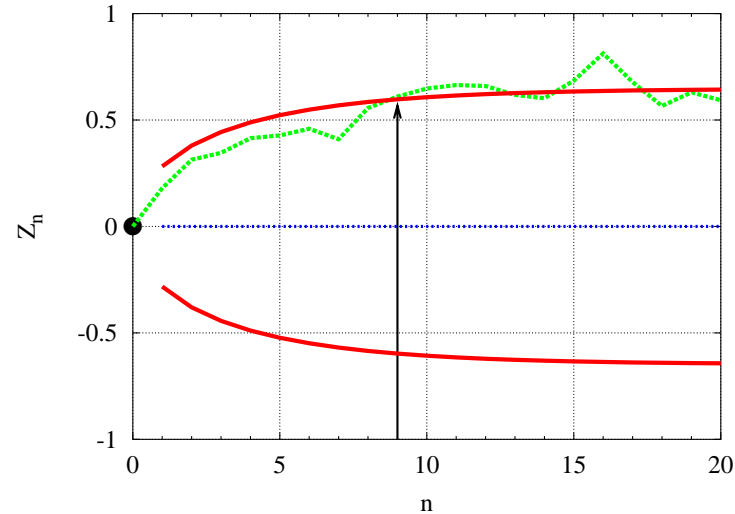
Illustrierende Beispiele: $\lambda = 0.1$, $m = 1$, $E_\infty(L) = 500$

FIR EWMA-Beispiele I – $m = 1$

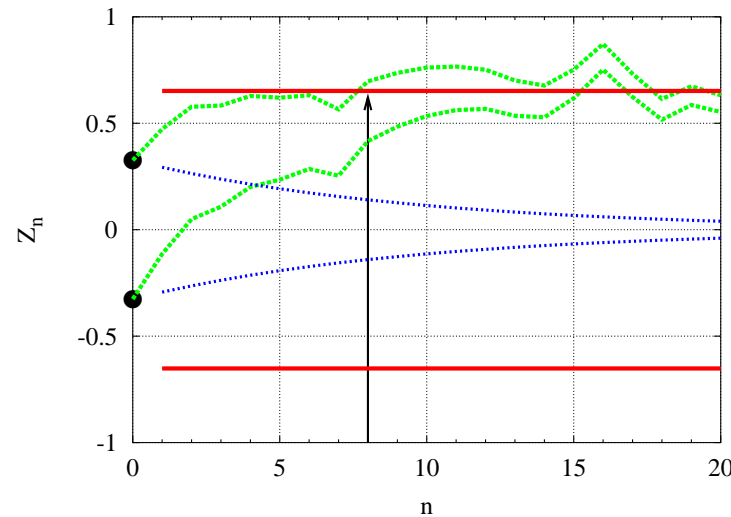
Roberts (1959), Wortham (1972), Ho (1978)



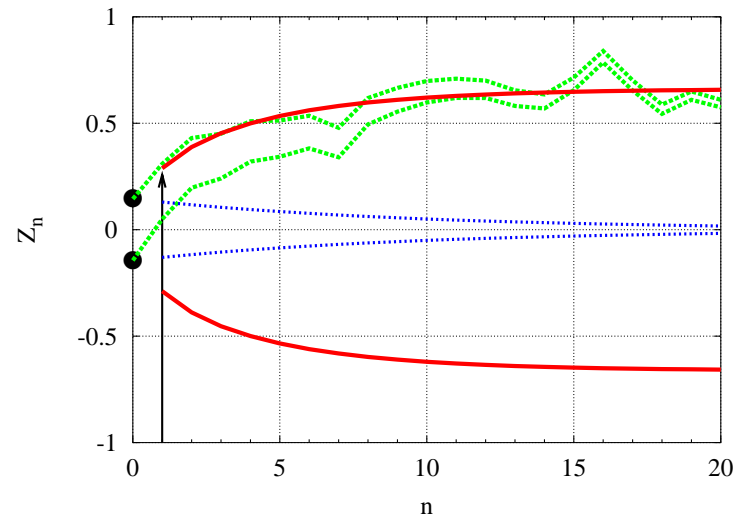
Roberts (1959), Chandrasekaran et al. (1995)



Lucas and Saccucci (1990)

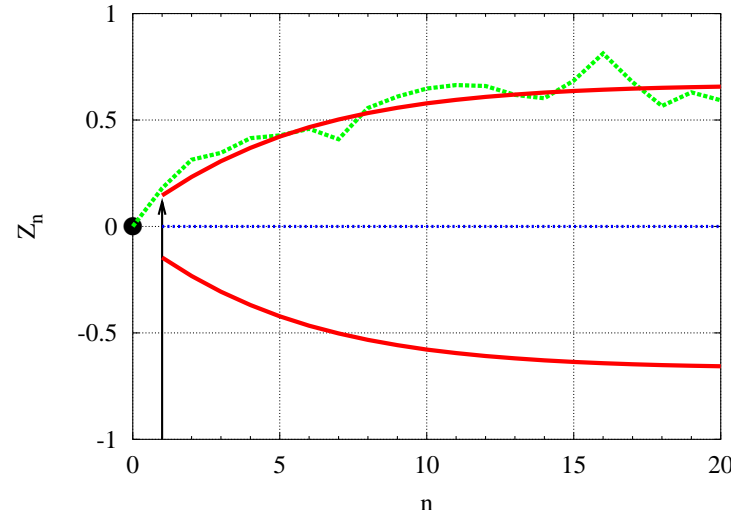


Rhoads et al. (1996)

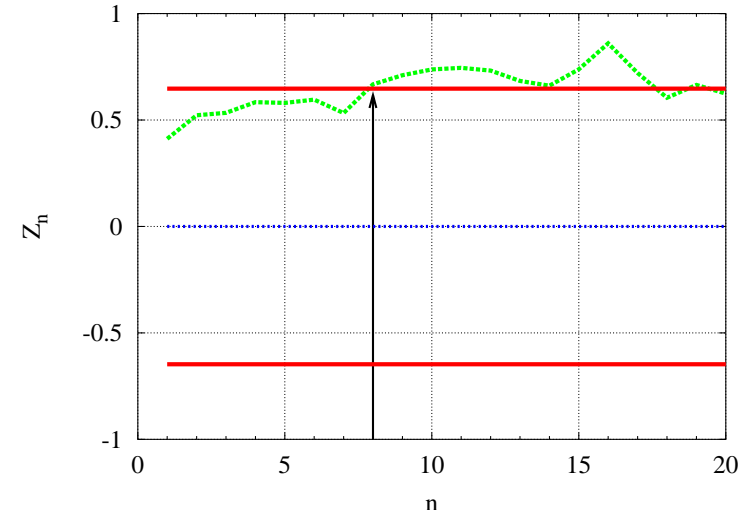


FIR EWMA-Beispiele II – $m = 1$

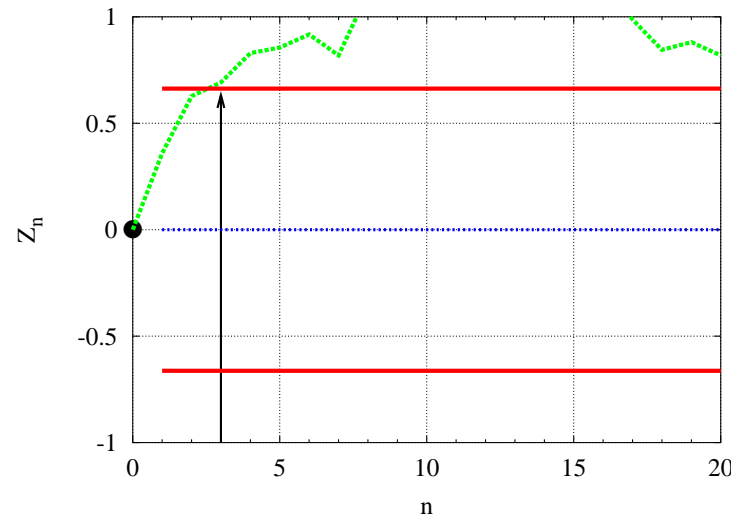
Steiner (1999)



(Knoth 2002)



Fink (1994)



?

?

Formeln

$$Z_0 = 0, \quad Z_n = \sum_{n \geq 1} (1 - \lambda) Z_{n-1} + \lambda X_n, \quad c^* = c \sqrt{\frac{2}{2 - \lambda}}, \quad l_n = \sqrt{1 - (1 - \lambda)^{2n}}$$

Alarm, wenn

(fcl) $|Z_n| > c^*$,

(vacl) $|Z_n| > c^* l_n$,

(fir) $\max \{|Z_n^u|, |Z_n^l|\} > c^*$, $Z_0^u = -Z_0^l = \frac{c^*}{2}$, Lucas/Saccucci 1990

(fvacl) $\max \{|Z_n^u|, |Z_n^l|\} > c^* l_n$, $Z_0^u = -Z_0^l = l_1 \cdot \frac{c^*}{2}$, Rhoads et al. 1996

(fadj) $|Z_n| > c^* l_n \left(1 - (1 - f)^{1+a(n-1)}\right)$, $f = 0.5$, $a = 0.3$, Steiner 1999

(stat) $|Z_n| > c^*$, $Z_1 = X_1 \sqrt{2/(2 - \lambda)}$, $Var_m(Z_n) = \frac{2}{2 - \lambda}$, (Knoth 2002)

(switch) $|Z_n| > c^*$, $\lambda = \begin{cases} \lambda_0 & , n \leq n_1 \\ \lambda_1 < \lambda_0 & , n > n_1 \end{cases}$, $n_1 = 10$, $\lambda_1 = \lambda_0/2$. Fink 1994

FIR nach Lucas/Saccucci benötigt zwei Karten?!

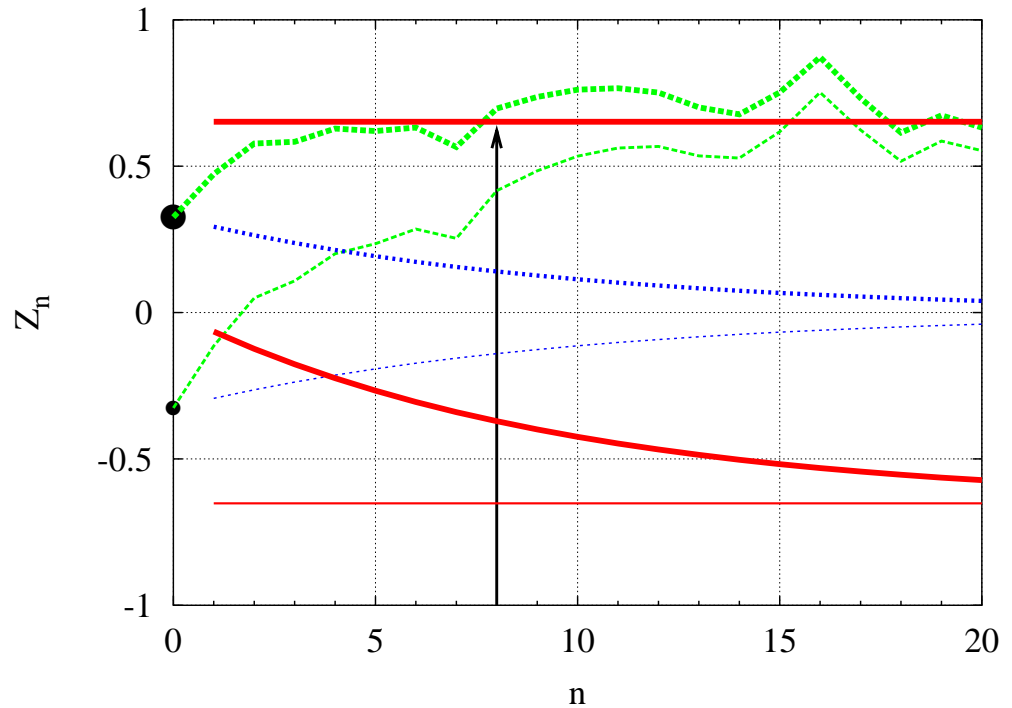
$$Z_0^u = -Z_0^l = \frac{c^*}{2},$$

$$\begin{aligned} Z_n^l &= Z_n^u - (Z_0^u - Z_0^l) (1 - \lambda)^n \\ &= Z_n^u - c^* (1 - \lambda)^n \end{aligned}$$

Deshalb ist, ($L = \inf \{n \in \mathbb{N} : \dots\}$)

$$\begin{aligned} \max \{|Z_n^u|, |Z_n^l|\} > c^* &\Leftrightarrow \max \{Z_n^u, -Z_n^l\} > c^* \\ &\Leftrightarrow Z_n^u \notin [- (1 - (1 - \lambda)^n) c^*, c^*] \end{aligned}$$

Bem.: Analoges gilt für FIR nach Rhoads et al.



Berechnung von $E_m(L)$, des kritischen Wertes c und ...

- Für konstante Grenzen (fcl, stat) gibt es "Dutzende" Methoden, für switch ist eine einfache Anpassung möglich und für fir gibt es zumindest den 2-dim. Zugang (Lucas/Saccucci).
- Für EWMA-Kontrollkarten mit variierenden Grenzen findet man:
 - Markov-Ketten, z. B. in Chandrasekaran et al. (1995) und Steiner (1999),
 - Monte-Carlo, z. B. in Rhoads et al. (1996),
 - Dichterekursionen in Margavio, Conerly, Woodall, Drake (1995)

Blinder-Alarm-Rate $r_n = P_\infty(L = n | L \geq n)$ für fcl, vacl und eine spezielle Karte mit konstanter Rate

Dichterekursionen I

Eine mehr allgemeine Schreibweise ist $L = \inf \{n \in \mathbb{N} : Z_n \notin [a_n, b_n]\}$.

Betrachten die folgende Rekursion:

$$f_1(z; z_0) = \begin{cases} \frac{1}{\lambda} \phi_\mu \left(\frac{z - (1-\lambda)z_0}{\lambda} \right) & , \quad a_1 \leq z \leq b_1 \\ 0 & , \text{ sonst} \end{cases},$$

$$f_n(z; z_0) = \begin{cases} \int_{a_{n-1}}^{b_{n-1}} f_{n-1}(\tilde{z}; z_0) \frac{1}{\lambda} \phi_\mu \left(\frac{z - (1-\lambda)\tilde{z}}{\lambda} \right) d\tilde{z} & , \quad a_n \leq z \leq b_n \\ 0 & , \text{ sonst} \end{cases}.$$

Dann ist $f_n^*(z; z_0) = f_n(z; z_0) / \int_{a_n}^{b_n} f_n(\tilde{z}; z_0) d\tilde{z}$

eine Dichte der EWMA-Statistik Z_n bedingt auf $L > n$ und $Z_0 = z_0$,

wobei der Nenner gerade gleich $P(L > n)$ ist.

Dichterekursionen II

Mittels $P(L > n)$ ergeben sich

$$\text{zero-state ARL} \quad E_{1(\infty)}(L) = \sum_{n=0}^{\infty} P_{1(\infty)}(L > n),$$

$$D_m = E_m(L - m + 1 | L \geq m) = \frac{\sum_{n=m}^{\infty} P_m(L > n)}{P_m(L > m - 1)},$$

$$\text{steady-state ARL} \quad D = \lim_{m \rightarrow \infty} D_m \approx D_{m_0}, \quad m_0 = 100,$$

$$P_m(L = n), \quad P_m(L = n + m | L \geq m), \quad L_\alpha, \quad r_n, \quad \dots,$$

$$c \text{ als L\"osung von } E_\infty(L) = A = 500.$$

Dichterekursionen III

Wenn $\lim_{n \rightarrow \infty} a_n = a$ und $\lim_{n \rightarrow \infty} b_n = b$,

dann verhalten sich die Tails der Stoppzeit L wie die einer geometrischen Verteilung,

d. h. $P_m(L > n + j) \approx \varrho^j P_m(L > n)$

mit ϱ als Eigenwert mit dem größten Betrag bzgl. des Grenzübergangskernes.

→ nutze Quadraturen bis zu einem gewissen n_0 und dann den geometrischen Tail,

$$\text{z. B. } E_\infty(L) \approx \sum_{i=0}^{n_0-1} P(L > n) + \frac{P(L > n_0)}{1 - \tilde{\varrho}}, \quad \tilde{\varrho} = \frac{P(L > n_0)}{P(L > n_0 - 1)}.$$

Bem.:

1. Für homogene Kerne nutzten Woodall (1983), Waldmann (1986) und Gan (1991) dieselbe Idee (Ausnahmen sind D_m und D).
2. Es ist unklar, wie in Margavio et al. (1995) die variierenden Grenzen in der Quadraturfolge behandelt worden sind und warum z. B. Steiner (1999) diese Arbeit weder nutzte noch zitierte.

Dichterekursionen IV

$$-a_n = b_n = c^* \quad \text{fcl, stat, switch},$$

$$-a_n = b_n = c^* \sqrt{1 - (1 - \lambda)^{2n}} = c^* l_n \quad \text{vacl},$$

$$a_n = -(1 - (1 - \lambda)^n) c^*, \quad b_n = c^* \quad \text{fir},$$

$$a_n = -(1 - (1 - \lambda)^n) c^* l_n, \quad b_n = c^* l_n \quad \text{fvac1},$$

$$-a_n = b_n = c^* l_n \left(1 - (1 - f)^{1+a(n-1)}\right) \quad \text{fadj}.$$

$$\lim_{n \rightarrow \infty} -a_n = \lim_{n \rightarrow \infty} b_n = c^*.$$

$$r_n = (b_n - a_n)/(2c^*), \quad d_n = (a_n + b_n)/2,$$

$$\begin{aligned} M_n(\tilde{z}, z) &= r_n M(d_{n-1} + r_{n-1} \tilde{z}, d_n + r_n z) \\ &= \frac{r_n}{\lambda} \phi_\mu \left(\frac{d_n + r_n z - (1 - \lambda)(d_{n-1} + r_{n-1} \tilde{z})}{\lambda} \right). \end{aligned}$$

\rightsquigarrow glatter und positiver Übergangskern auf $[-c^*, c^*] \times [-c^*, c^*]$,

d. h. nutze Quadraturknoten unabhängig von n und erhalte gleichzeitig akkurate Quadraturresultate.

Kritische Werte

unter-Kontrolle-ARL, d. h. $E_\infty(L) = 500$, $\lambda = 0.1$

EWMA-Karte	fcl	vacl	fir	fvacl	fadj	stat	switch
c	2.8143	2.8239	2.8415	2.8858	2.9131	2.8215	2.8879
$\widehat{E_\infty(L)}$, 10^9 rep.	499.99	500.02	500.01	499.92	500.02	500.01	499.94
se	.016	.016	.017	.017	.020	.016	.019
Dichterekursion	499.99	500.04	499.99	499.93	500.04	499.99	499.97

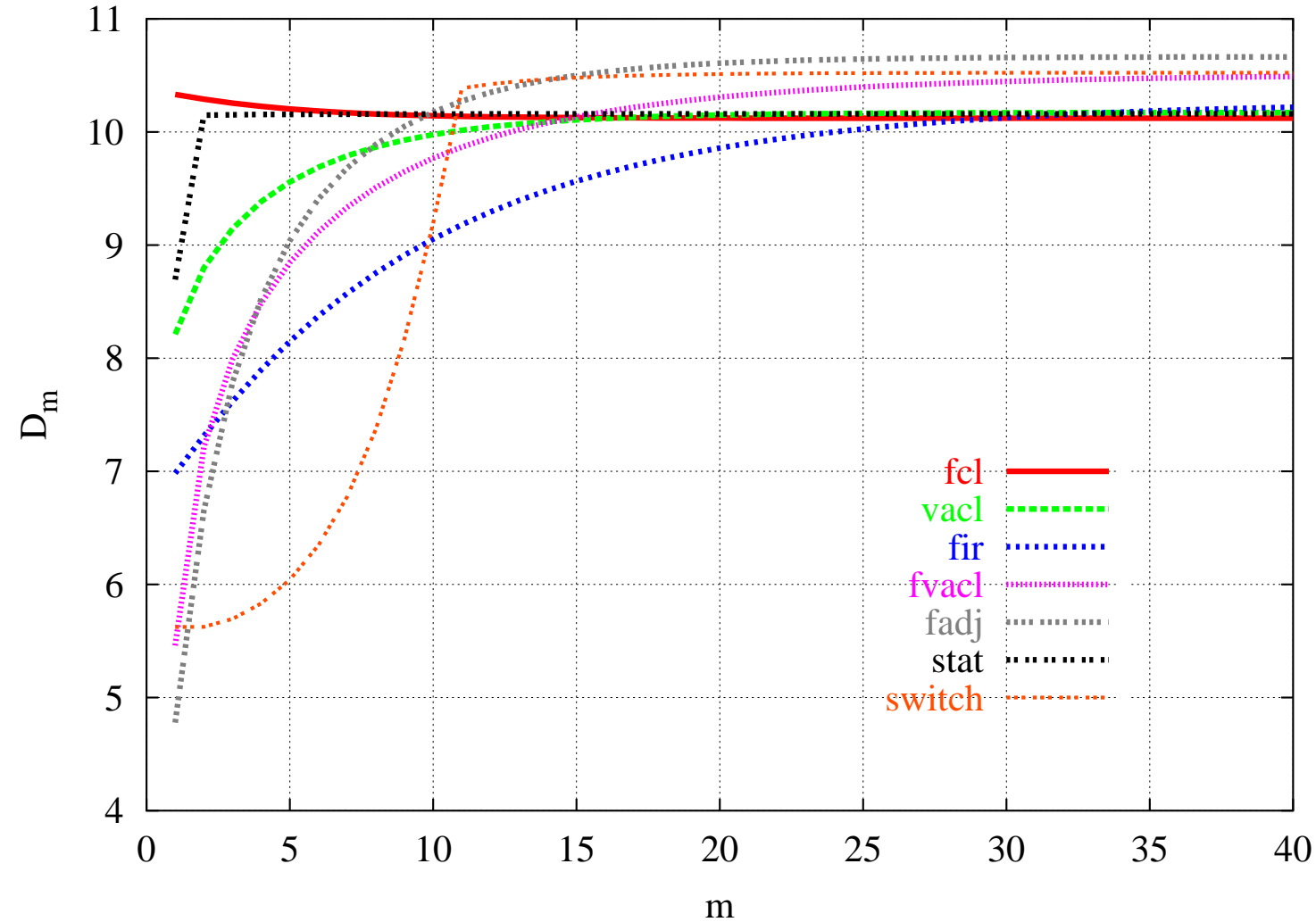
Zero-state und steady-state ARLs $E_1(L)$ und D

$\lambda = 0.1$, unter-Kontrolle-ARL $E_\infty(L) = 500$, Ergebnisse als $\begin{pmatrix} E_1(L) \\ D \end{pmatrix}$

δ	EWMA-Kontrollkarte						
	fcl	vacl	fir	fvacl	fadj	stat	switch
0.5	<u>31.3</u>	28.8	24.8	22.9	21.6	29.3	<u>20.8</u>
	<u>30.6</u>	30.9	31.4	32.8	<u>33.6</u>	30.8	32.8
1.0	<u>10.3</u>	8.21	6.98	5.46	<u>4.78</u>	8.69	5.62
	<u>10.1</u>	10.2	10.3	10.5	<u>10.7</u>	10.2	10.5
1.5	<u>6.08</u>	4.17	3.90	2.52	<u>2.19</u>	4.56	3.36
	<u>5.99</u>	6.01	6.06	6.17	<u>6.24</u>	6.01	6.18
2.0	<u>4.36</u>	2.66	2.75	1.60	<u>1.45</u>	2.91	2.47
	<u>4.31</u>	4.32	4.35	4.42	<u>4.47</u>	4.32	4.43
3.0	<u>2.87</u>	1.51	1.81	1.09	<u>1.07</u>	1.57	1.68
	<u>2.85</u>	2.86	2.87	2.91	<u>2.94</u>	2.85	2.92

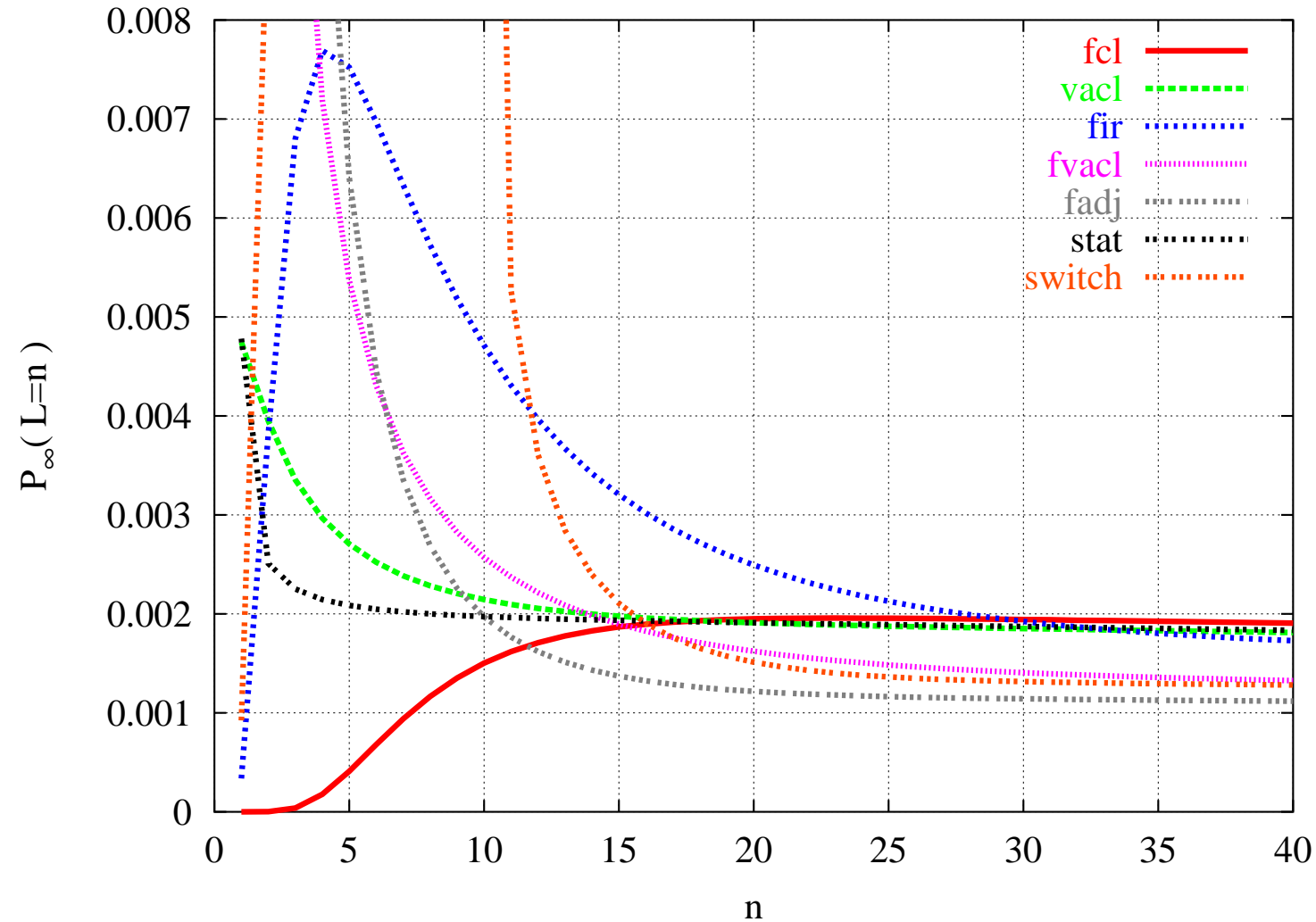
$$D_m = E_m(L - m + 1 | L \geq m)$$

$$(\lambda = 0.1, E_\infty(L) = 500, \delta = 1)$$



unter-Kontrolle-Wahrscheinlichkeitsfunktion von L

$$(\lambda = 0.1, E_\infty(L) = 500)$$



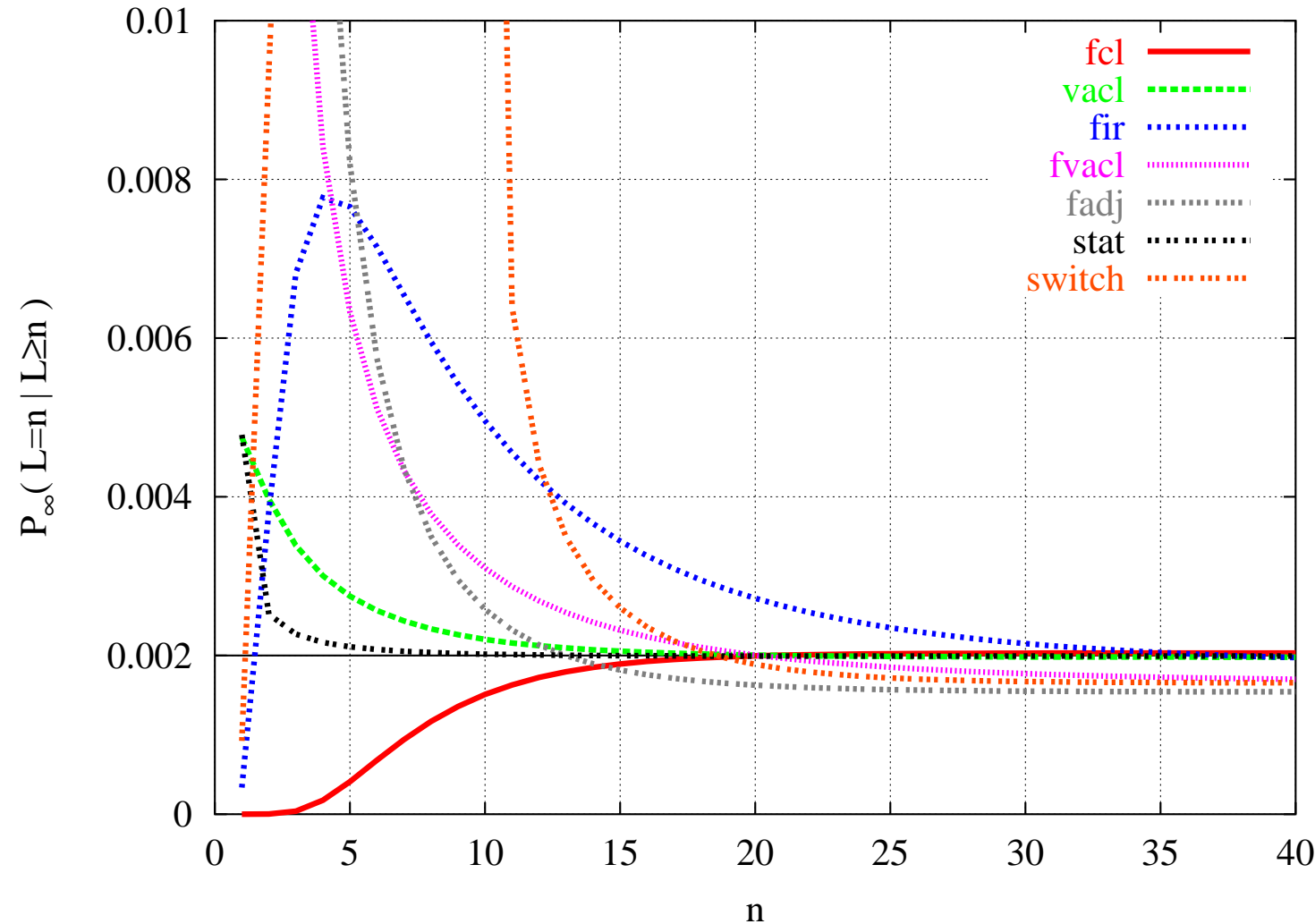
Wahrscheinlichkeiten für zeitige blinde Alarme

$\lambda = 0.1$, unter-Kontrolle-ARL, d. h. $E_\infty(L) = 500$

EWMA-Karte	fcl	vacl	fir	fvacl	fadj	stat	switch
$P_\infty(L = 1)$	0.0000	0.0047	0.0003	0.1125	0.1452	0.0048	0.0009
$P_\infty(L = 2)$	0.0000	0.0040	0.0038	0.0217	0.0435	0.0025	0.0094
$P_\infty(L = 3)$	0.0000	0.0034	0.0068	0.0109	0.0190	0.0022	0.0170
$P_\infty(L \leq 10)$	0.0063	0.0293	0.0551	0.1742	0.2391	0.0238	0.1761
				(0.02)			

Blinder-Alarm-Rate $r_n = P_\infty(L = n | L \geq n)$

($\lambda = 0.1, E_\infty(L) = 500$)



Zusammenfassung

Bzgl. *fast initial response (FIR)* kann man drei Typen von EWMA-Kontrollkarten unterscheiden:

Eigenschaft	"echtes" FIR	"moderates" FIR	balanciert
anfängliche Detektionsempfindlichkeit	hoch	vergrößert	niedrig
Langzeitverhalten	wenig gestört	etwas gestört	gut
anfängliche Blinder-Alarm-Rate	hoch	moderat	niedrig
	fvacl (Steiner) switch (Fink) fvacl (Rhoads et al.)	fir (Lucas/Sacc.)	stat (Knoth) fcl vacl